



**UNIVERSIDAD  
DE ANTIOQUIA**

# Oscilador de Van der Pol

Yeison Gomez

Juan Jose Ruiz

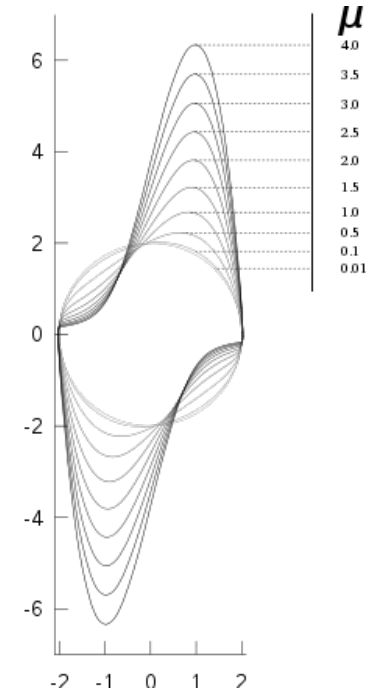
Santiago Ruiz

# Un oscilador especial



- Balthasar van der Pol mientras trabajaba en Philips

- 1927 (Nature)  
para determinadas frecuencias aparecía un ruido irregular cerca de las frecuencias de acoplamiento.



como ciclos límite, en circuitos que usaban válvulas

# Motivación Física

$$\frac{d^2 x}{dt^2} - \mu(1 - x^2) \frac{dx}{dt} + x = 0$$

- amortiguamiento no lineal
- ecuación diferencial de segundo orden

modelo de FitzHugh-Nagumo

- modelo para los potenciales de acción de las neuronas.
- modelan las dos placas en una falla geológica.

- Fonación: los osciladores de las cuerdas vocales.
- Medicina: Se modela los latidos del corazón, donde se intentan representar oscilaciones autoexcitadas no lineales.



# Derivación

En su forma más general

$$y'' + F(y') + y = 0$$

Una forma más específica

$$y'' - \mu(1 - y^2)y' + y = 0$$

Se deriva de la ecuación diferencial de Rayleigh

$$y'' - \mu(1 + \frac{1}{3}y'^2)y' + y = 0$$

Expandiendo los paréntesis y derivando el resultado obtenemos:

$$\frac{d}{dy}(y'' - \mu y' - \mu \frac{1}{3} y'^3 + y) = 0$$

Hacemos que tome la forma de Van der pol

$$y''' - \mu(y'' - y'^2 y'') + y' = 0$$

$$y''' - \mu(1 - y'^2)y'' + y' = 0$$

Ahora haciendo  $y' = y$ ,

Obtenemos finalmente

$$y'' - \mu(1 - y^2)y' + y = 0$$

¿Qué función cumple con esta propiedad?

$$y = Ae^x$$

donde A es cualquier constante. Por lo tanto, las propiedades logarítmicas y exponenciales también se utilizan en la definición de estas oscilaciones de Van der Pol.



# Método de solución

Un problema no lineal no se puede expresar como una combinación lineal de soluciones para dos problemas de valor inicial.

$$y'' = f(x, y, y'), \quad \text{para } a \leq x \leq b, \text{ con } y(a) = \alpha \text{ y } y'(a) = t. \quad (11.7)$$

Lo hacemos al seleccionar los parámetros  $t = t_k$  de forma que se garantiza

$$\lim_{k \rightarrow \infty} y(b, t_k) = y(b) = \beta,$$

donde  $y(x, t_k)$  denota la solución del problema de valor inicial (11.7)

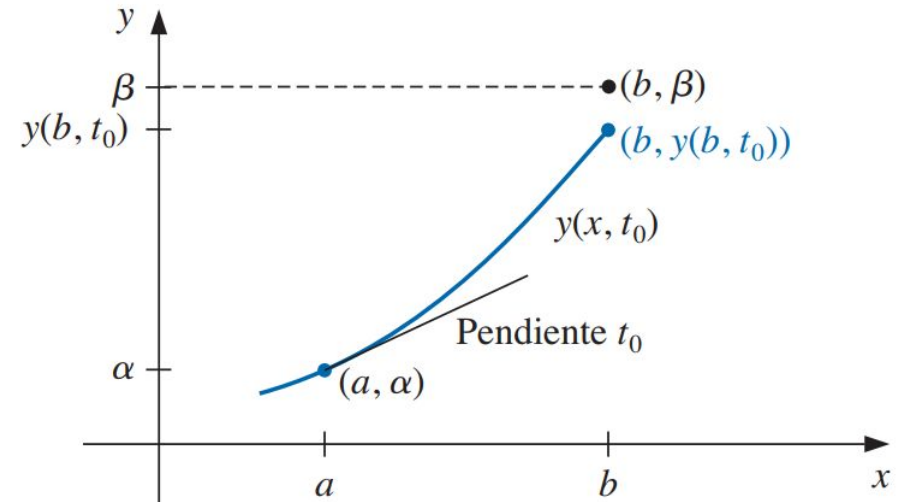
- El problema de valor en la frontera se reemplaza por medio de una sucesión de soluciones de problemas de valor inicial que implican un parámetro  $t$

- el objetivo es llegar a  $\bullet(b, \beta)$

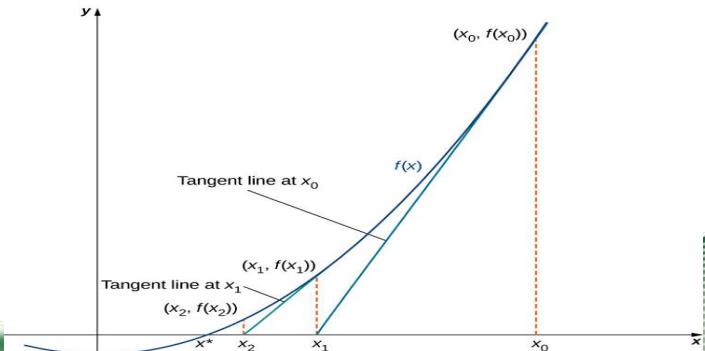
$t_1, t_2,$

- criterio de parada

$$y(b, t) - \beta = 0.$$



$$y'' = f(x, y, y'), \quad \text{para } a \leq x \leq b, \text{ con } y(a) = \alpha \text{ y } y'(a) = t_0.$$







# Algoritmo de solución

## Nonlinear Shooting with Newton's Method

To approximate the solution of the nonlinear boundary-value problem

$$y'' = f(x, y, y'), \quad \text{for } a \leq x \leq b, \text{ with } y(a) = \alpha \text{ and } y(b) = \beta :$$

(Note: Equations (11.10) and (11.12) are written as first-order systems and solved.)

**INPUT** endpoints  $a, b$ ; boundary conditions  $\alpha, \beta$ ; number of subintervals  $N \geq 2$ ; tolerance  $TOL$ ; maximum number of iterations  $M$ .

**OUTPUT** approximations  $w_{1,i}$  to  $y(x_i)$ ;  $w_{2,i}$  to  $y'(x_i)$  for each  $i = 0, 1, \dots, N$  or a message that the maximum number of iterations was exceeded.

**Step 1** Set  $h = (b - a)/N$ ;  
 $k = 1$ ;  
 $TK = (\beta - \alpha)/(b - a)$ . (Note:  $TK$  could also be input.)

**Step 2** While  $(k \leq M)$  do Steps 3–10.

**Step 3** Set  $w_{1,0} = \alpha$ ;  
 $w_{2,0} = TK$ ;  
 $u_1 = 0$ ;  
 $u_2 = 1$ .

**Step 4** For  $i = 1, \dots, N$  do Steps 5 and 6.  
 (The Runge-Kutta method for systems is used in Steps 5 and 6.)

**Step 5** Set  $x = a + (i - 1)h$ .

**Step 6** Set  $k_{1,1} = hf(x, w_{1,i-1}, w_{2,i-1})$ ;  
 $k_{1,2} = hf(x, w_{1,i-1}, w_{2,i-1})$ ;  
 $k_{2,1} = h(w_{2,i-1} + \frac{1}{2}k_{1,2})$ ;  
 $k_{2,2} = hf(x + h/2, w_{1,i-1} + \frac{1}{2}k_{1,1}, w_{2,i-1} + \frac{1}{2}k_{1,2})$ ;  
 $k_{3,1} = h(w_{2,i-1} + \frac{1}{2}k_{2,2})$ ;

$$k_{3,2} = hf(x + h/2, w_{1,i-1} + \frac{1}{2}k_{2,1}, w_{2,i-1} + \frac{1}{2}k_{2,2});$$

$$k_{4,1} = h(w_{2,i-1} + k_{3,2});$$

$$k_{4,2} = hf(x + h, w_{1,i-1} + k_{3,1}, w_{2,i-1} + k_{3,2});$$

$$w_{1,i} = w_{1,i-1} + (k_{1,1} + 2k_{2,1} + 2k_{3,1} + k_{4,1})/6;$$

$$w_{2,i} = w_{2,i-1} + (k_{1,2} + 2k_{2,2} + 2k_{3,2} + k_{4,2})/6;$$

$$k'_{1,1} = hu_2;$$

$$k'_{1,2} = h[f_y(x, w_{1,i-1}, w_{2,i-1})u_1$$

$$+ f_{y'}(x, w_{1,i-1}, w_{2,i-1})u_2];$$

$$k'_{2,1} = h[u_2 + \frac{1}{2}k'_{1,2}];$$

$$k'_{2,2} = h[f_y(x + h/2, w_{1,i-1}, w_{2,i-1})(u_1 + \frac{1}{2}k'_{1,1})$$

$$+ f_{y'}(x + h/2, w_{1,i-1}, w_{2,i-1})(u_2 + \frac{1}{2}k'_{1,2})];$$

$$k'_{3,1} = h(u_2 + \frac{1}{2}k'_{2,2});$$

$$k'_{3,2} = h[f_y(x + h/2, w_{1,i-1}, w_{2,i-1})(u_1 + \frac{1}{2}k'_{2,1})$$

$$+ f_{y'}(x + h/2, w_{1,i-1}, w_{2,i-1})(u_2 + \frac{1}{2}k'_{2,2})];$$

$$k'_{4,1} = h(u_2 + k'_{3,2});$$

$$k'_{4,2} = h[f_y(x + h, w_{1,i-1}, w_{2,i-1})(u_1 + k'_{3,1})$$

$$+ f_{y'}(x + h, w_{1,i-1}, w_{2,i-1})(u_2 + k'_{3,2})];$$

$$u_1 = u_1 + \frac{1}{6}[k'_{1,1} + 2k'_{2,1} + 2k'_{3,1} + k'_{4,1}];$$

$$u_2 = u_2 + \frac{1}{6}[k'_{1,2} + 2k'_{2,2} + 2k'_{3,2} + k'_{4,2}].$$



**Step 7** If  $|w_{1,N} - \beta| \leq TOL$  then do Steps 8 and 9.

**Step 8** For  $i = 0, 1, \dots, N$   
set  $x = a + ih$ ;  
OUTPUT  $(x, w_{1,i}, w_{2,i})$ .

**Step 9** (*The procedure is complete.*)  
STOP.

**Step 10** Set  $TK = TK - \frac{w_{1,N} - \beta}{u_1}$ ;  
  
(*Newton's method is used to compute TK.*)  
 $k = k + 1$ .

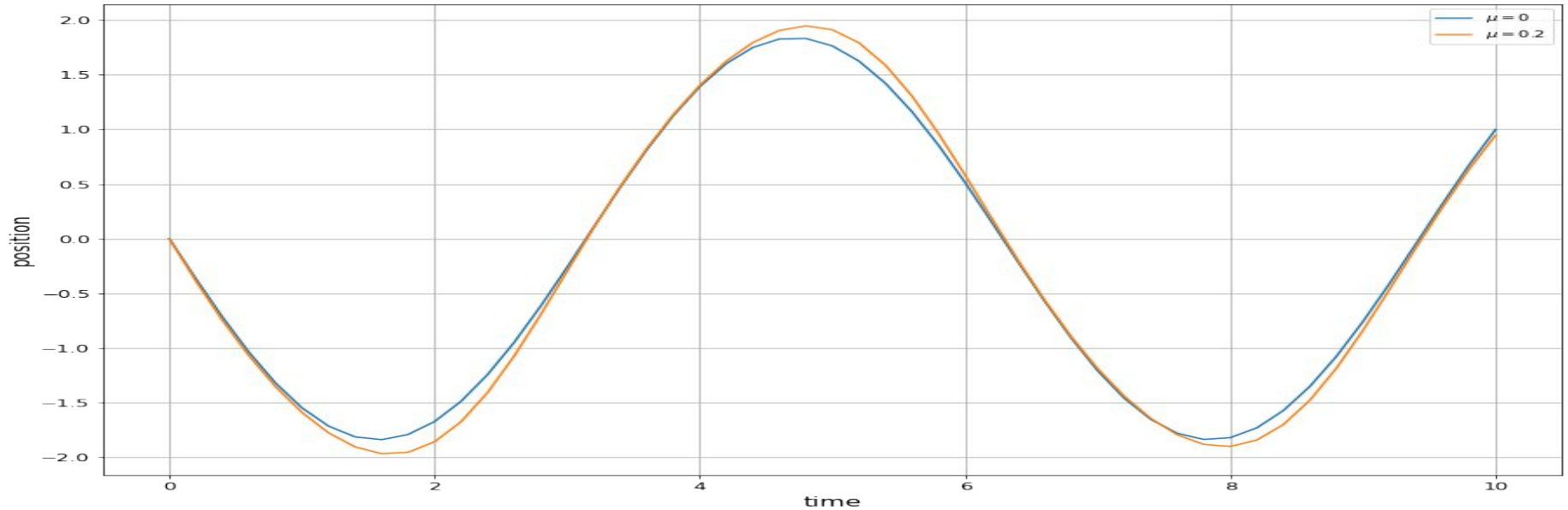
**Step 11** OUTPUT ('Maximum number of iterations exceeded');  
(*The procedure was unsuccessful.*)  
STOP.



**UNIVERSIDAD  
DE ANTIOQUIA**

# Resultados

## Posición vs tiempo



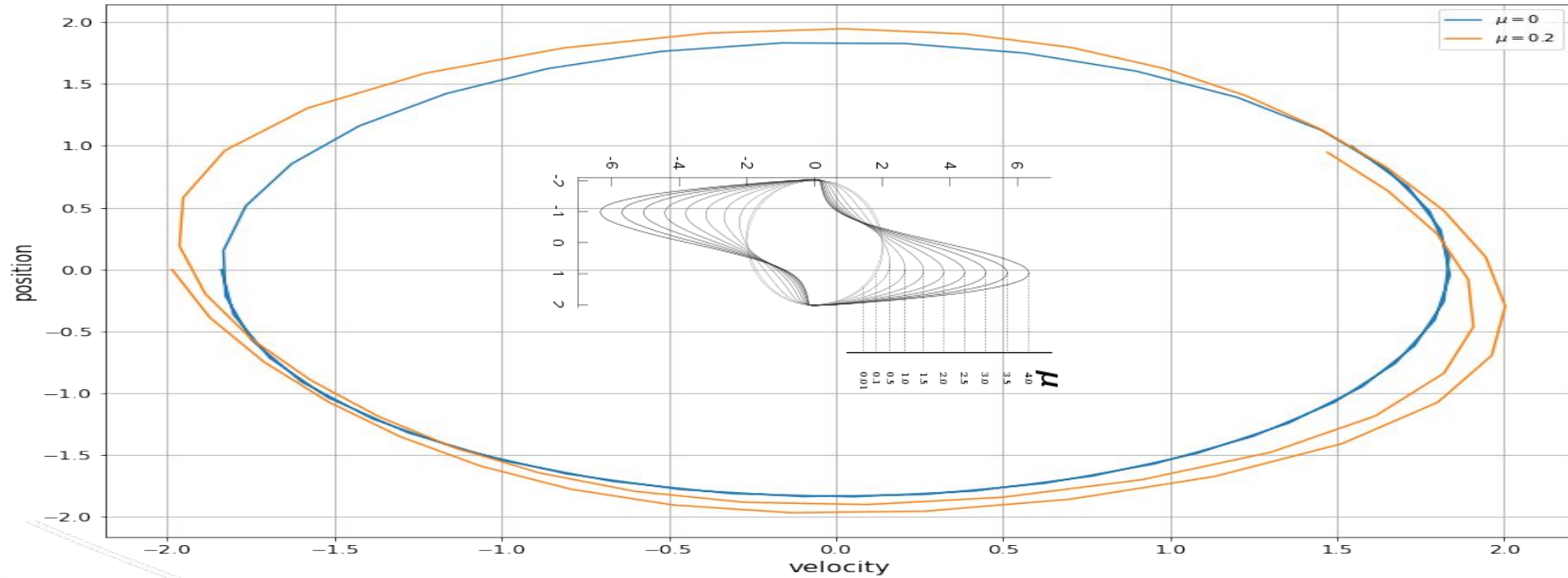
tomamos  $\mu=0$  y  $\mu=0.2$  para obtener el oscilador armónico con las siguientes condiciones

(0, 10, 0, 1, 50, 10e-2, 10000, 0);

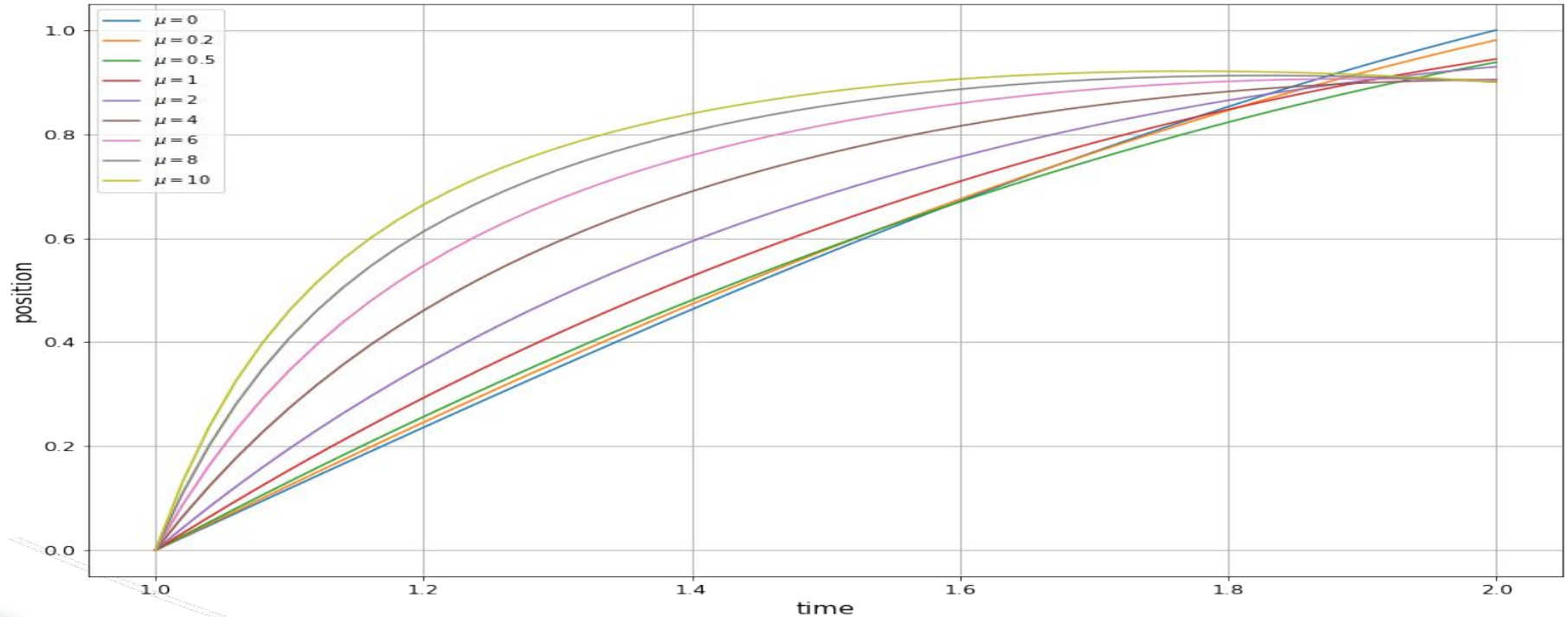
disparo(a, b, alpha, beta, N, TOL, M, mu)



## Posición vs Velocidad



## Posición vs tiempo

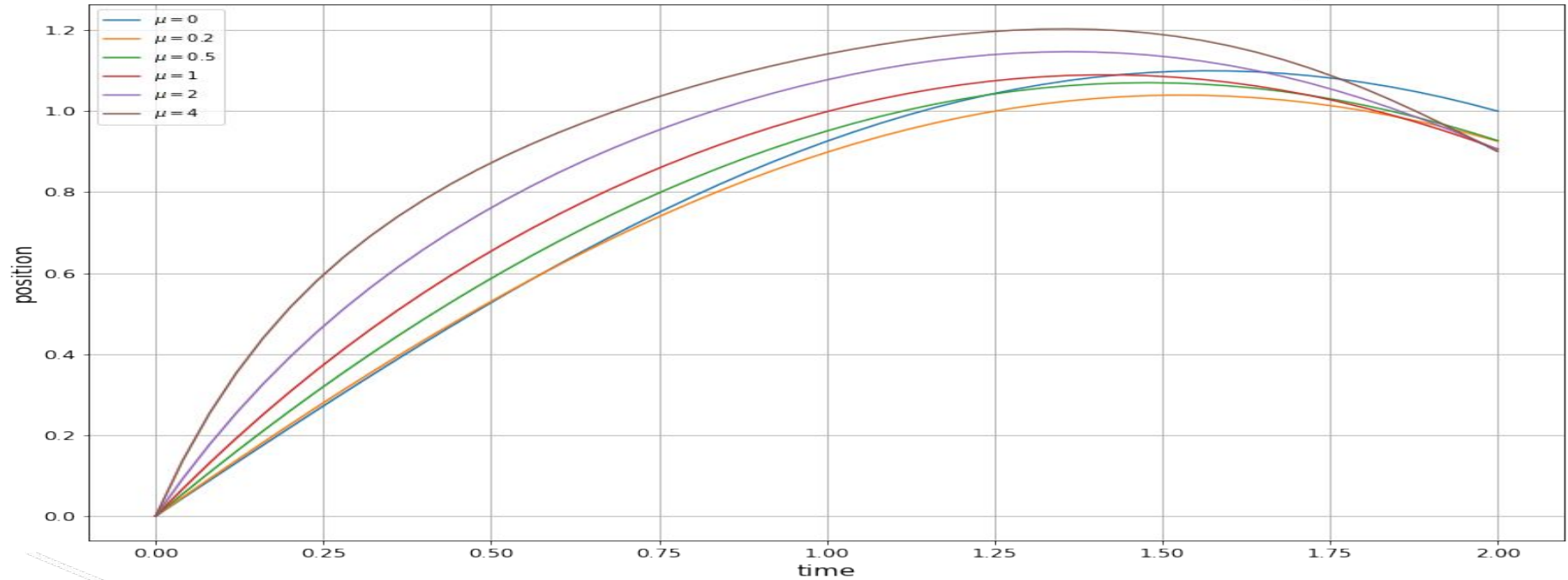


Variamos  $\mu$  de 0 a 10 con las siguientes condiciones

1, 2, 0, 1, 50, 10e-2, 10000, 0);



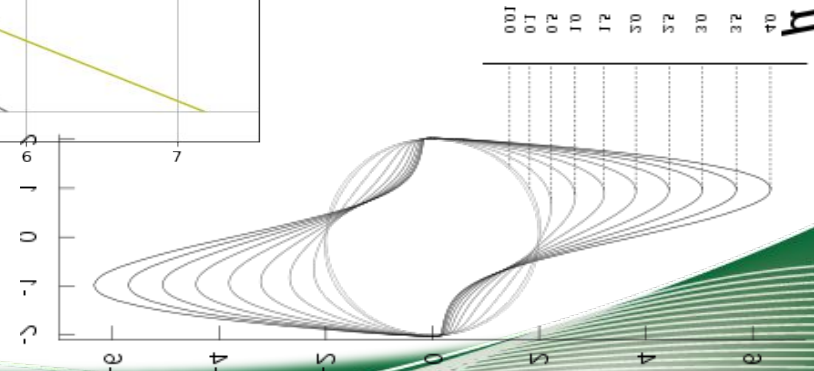
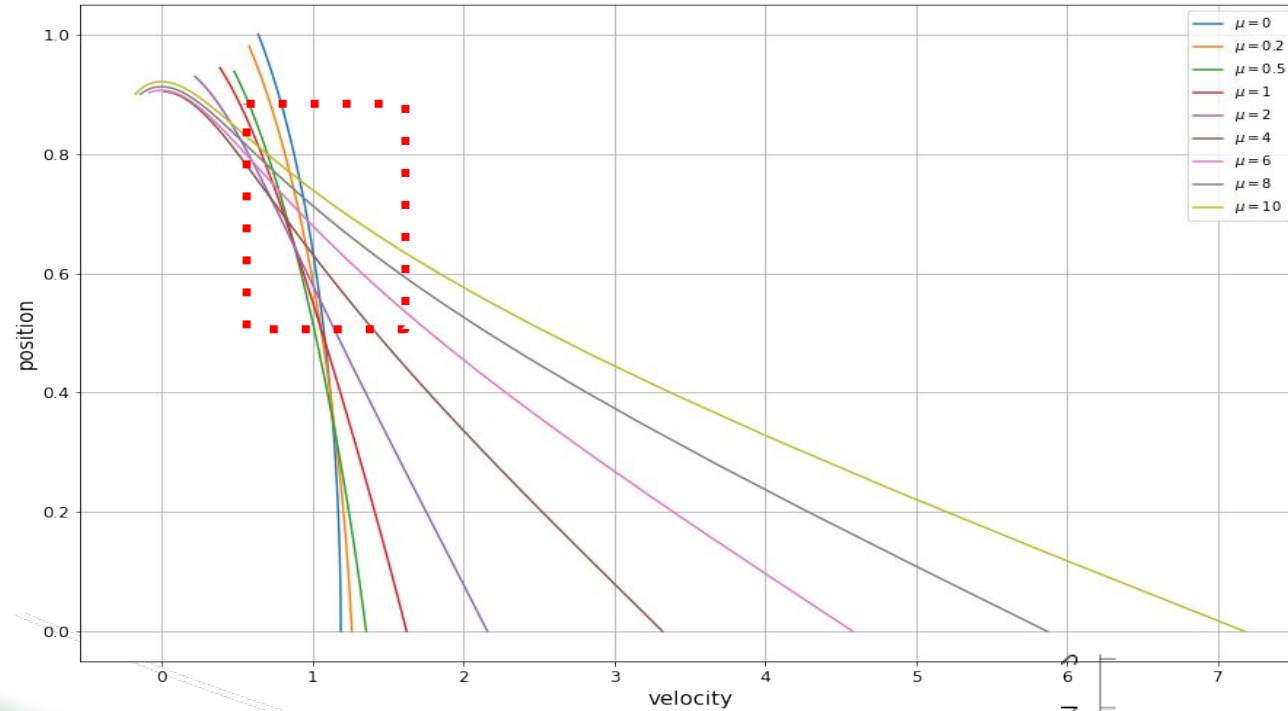
## Posición vs tiempo



Variamos  $\mu$  de 0 a 4 con las siguientes condiciones (0, 2, 0, 1, 50,  $10e-2$ , 10000, 0);



## Posición vs Velocidad

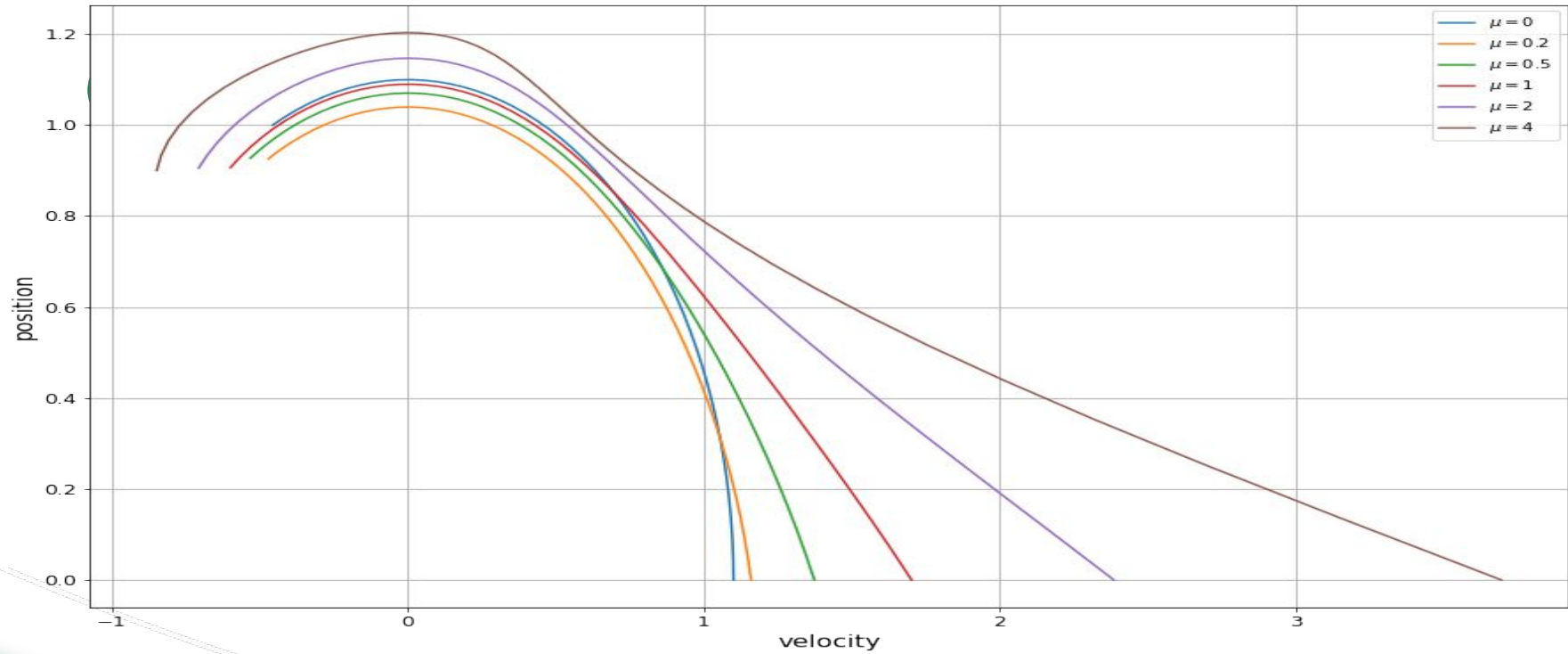




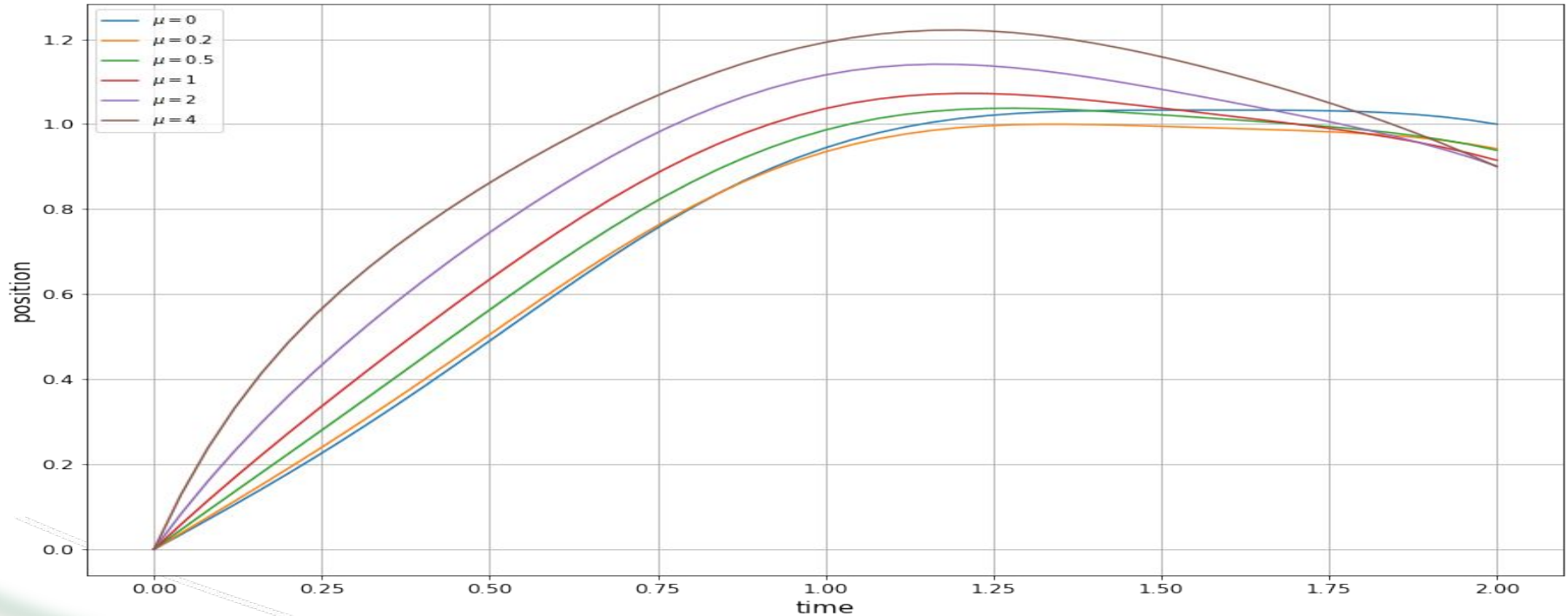
## Posición vs Velocidad



UNIVERSIDAD  
DE ANTIOQUIA



## Posición vs tiempo



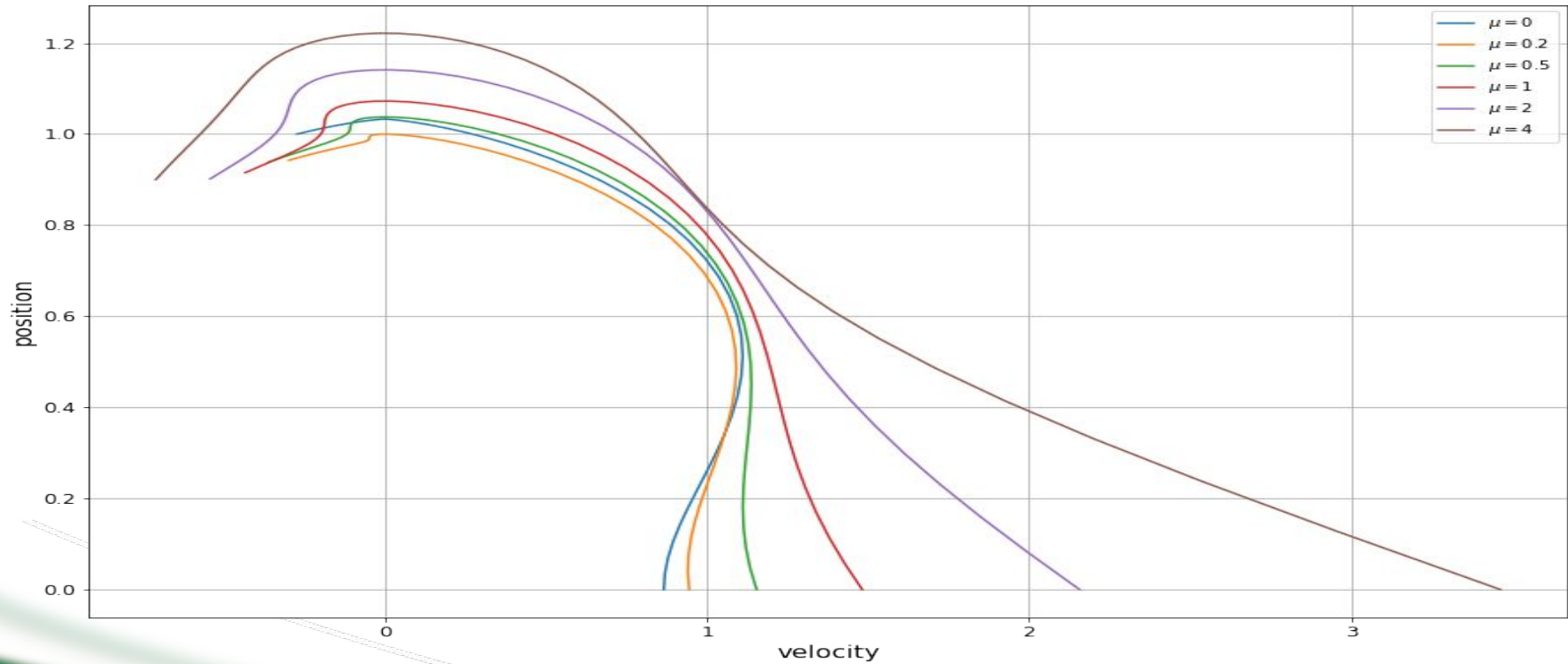
Variamos  $\mu$  de 0 a 4 forzando el oscilador de forma  $F=A\sin(\omega t)$ ;  $A=1$  y  $\omega=5$  con las siguientes condiciones

(0, 2, 0, 1, 50, 10e-2, 10000, 0)

## Posición vs Velocidad



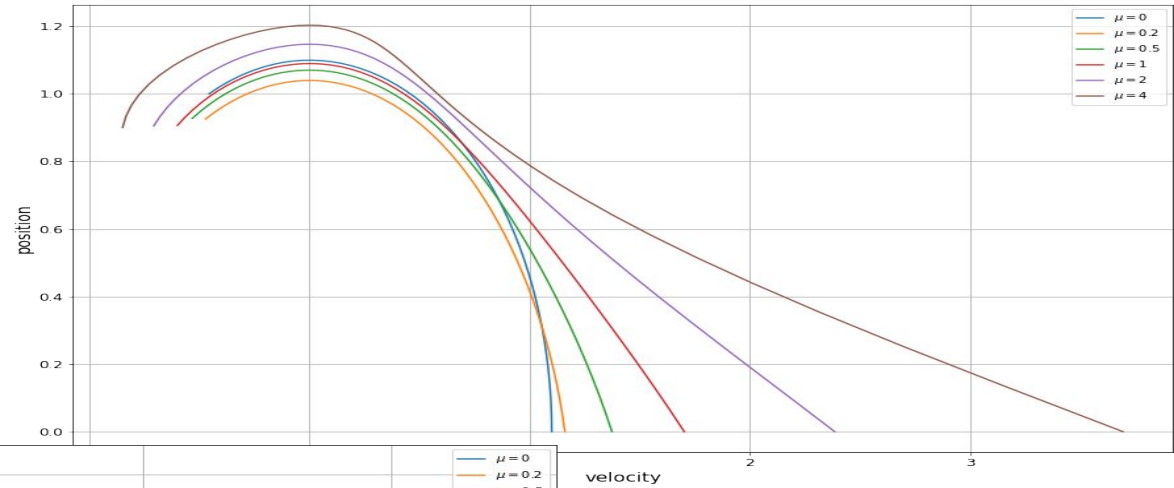
UNIVERSIDAD  
DE ANTIOQUIA



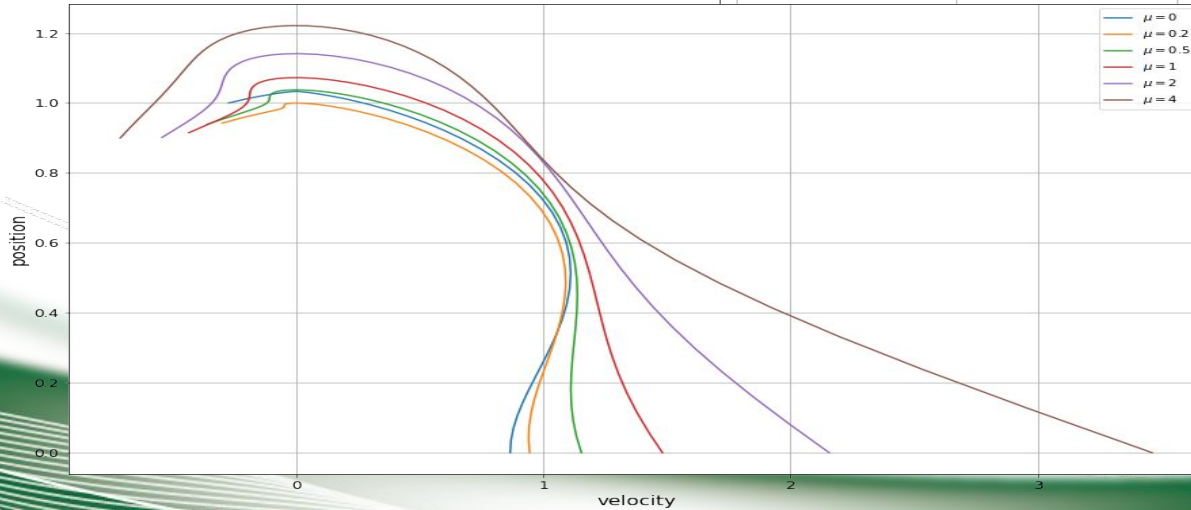


# comparación

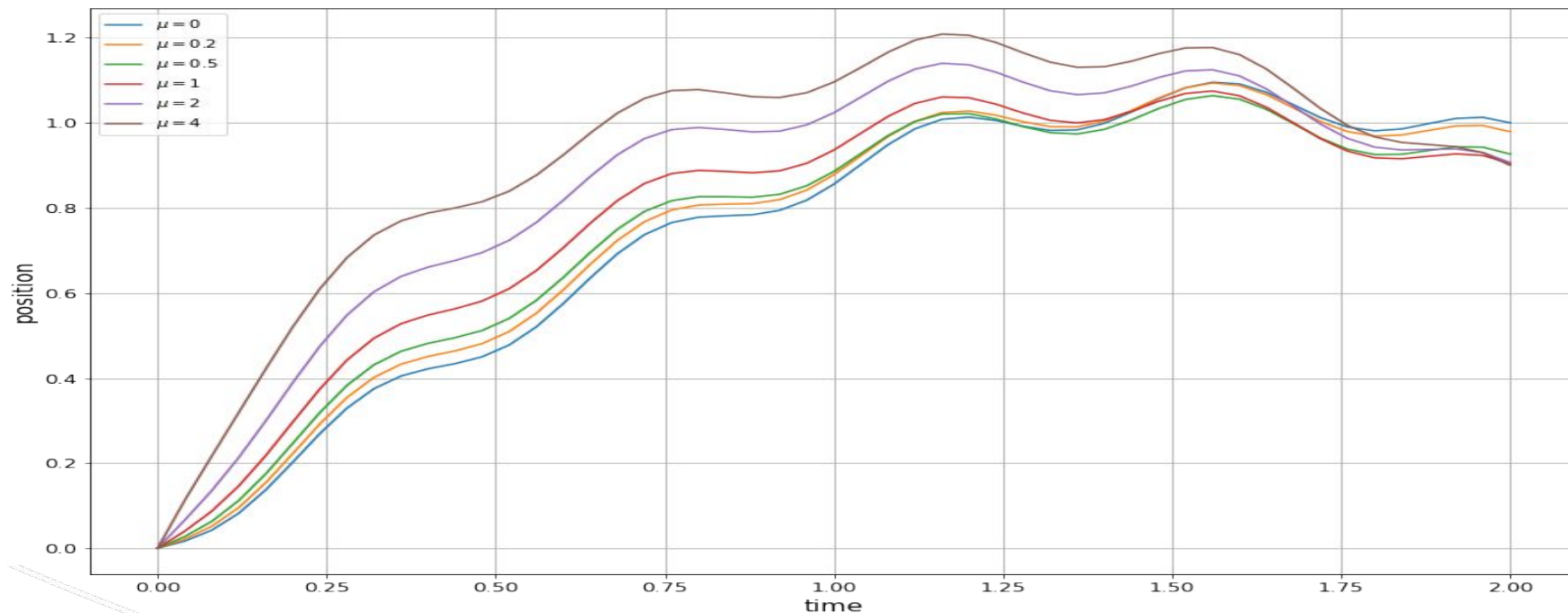
No forzado



Forzado



## Posición vs tiempo

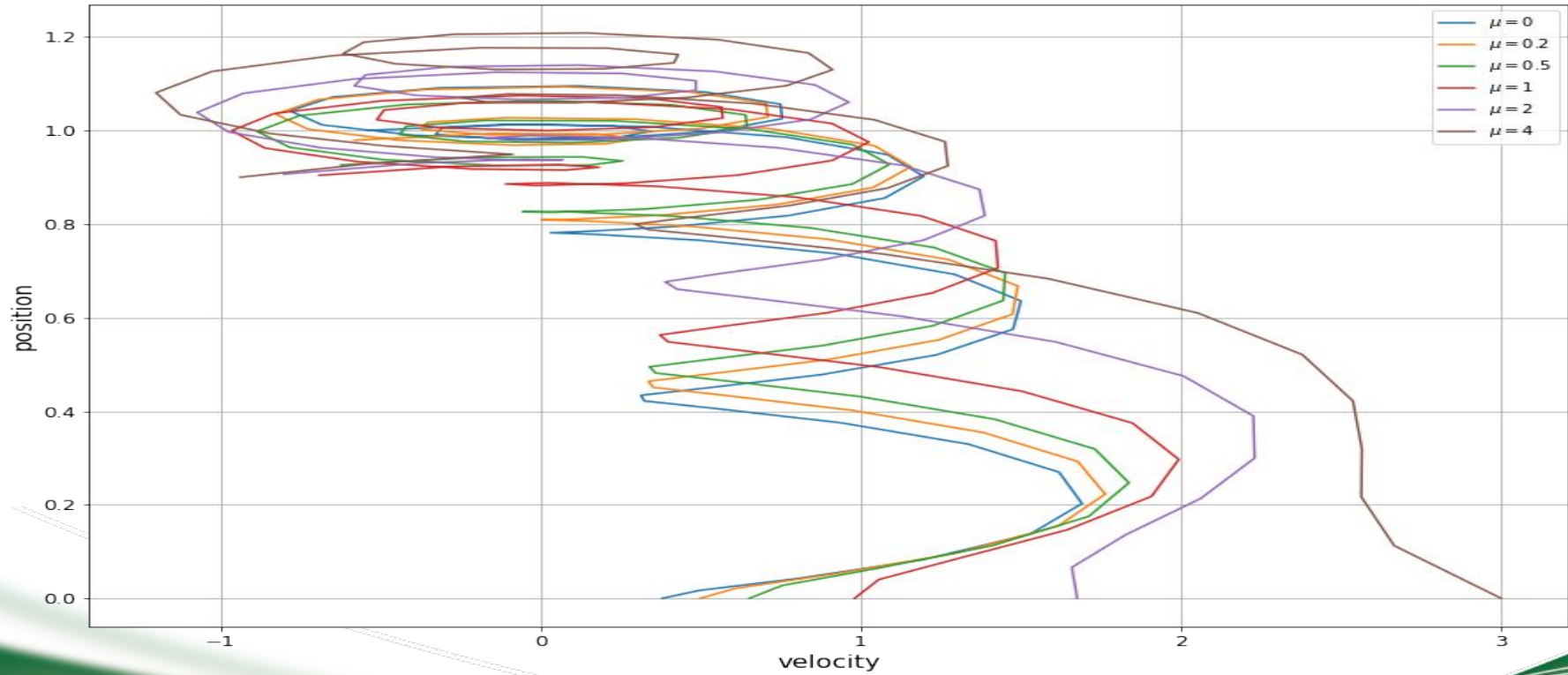


Variamos  $\mu$  de 0 a 4 forzando el oscilador de forma  $F=A\sin(\omega t)$ ;  $A=10$  y  $\omega=15$ . con las siguientes condiciones

(0, 2, 0, 1, 50, 10e-2, 10000, 0);



## Posición vs Velocidad de oscilador forzado

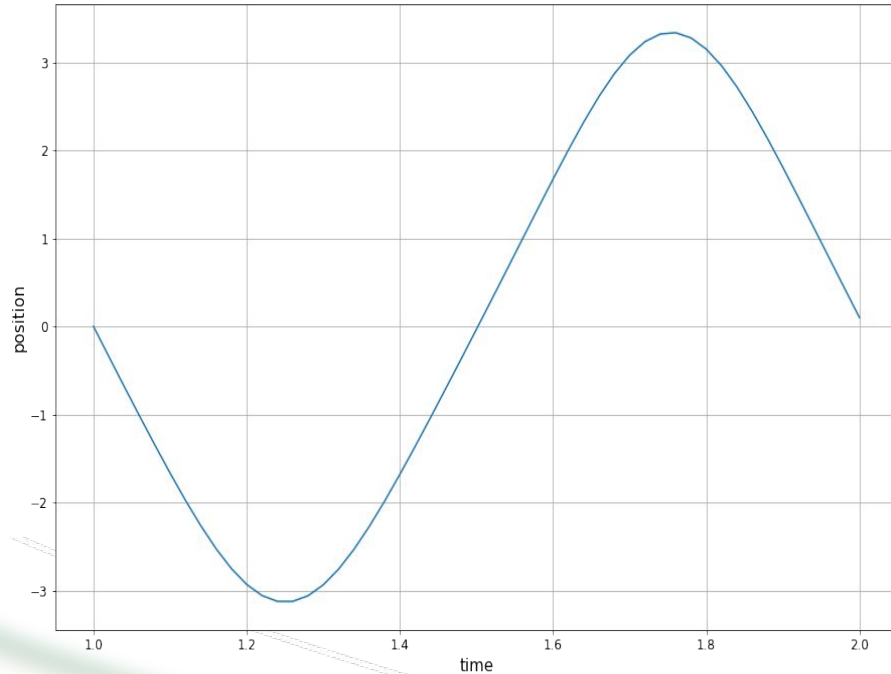




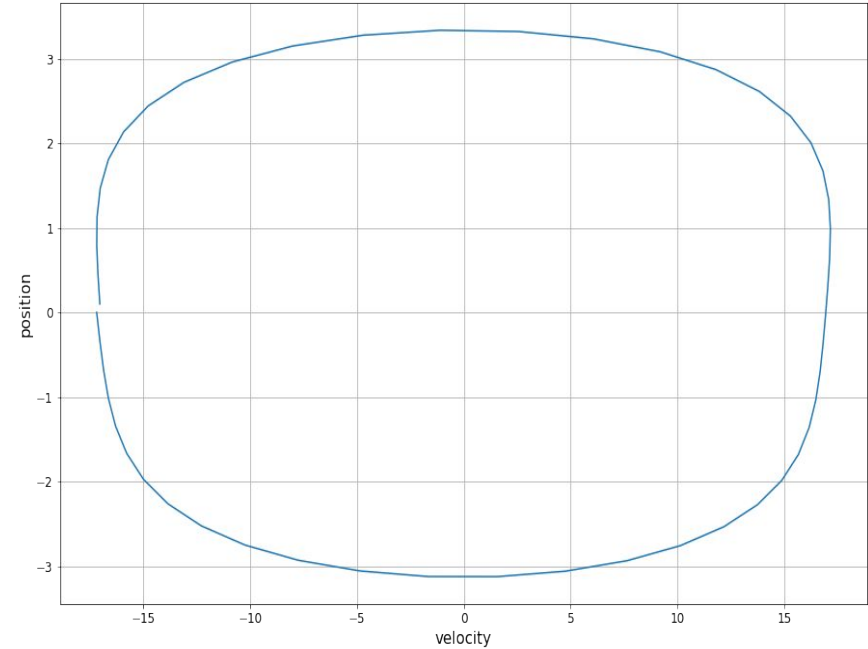


# Oscilador de Duffing

$$\ddot{x} + \delta \dot{x} + \alpha x + \beta x^3 = \gamma \cos(\omega t)$$



Posición vs Tiempo



Posición vs Velocidad

# Conclusiones

- El método de Newton para resolver la ecuación diferencial solo es localmente convergente, el algoritmo es óptimo si se quieren analizar zonas específicas.
- El algoritmo es altamente susceptible a las condiciones iniciales.
- El aumento de  $\mu$  hace diverger el algoritmo.
- Debido a las múltiples aplicaciones en medicina, ingeniería eléctrica y geología el estudio de este oscilador es importante.



# Referencias

- Análisis numérico, 10 a. Ed. Richard L. Burden, J. Douglas Faires y Annette M. Burden.
- Van der Pol Equation: Overview, Derivation, and Examination of Solutions .Nick McMullen, December 6, 2016.
- Estudio de singularidades en la ecuación de Van der Pol. Víctor Hernandez Suarez, Universidad de Las Palmas de G.C.
- Wesley, Cao. Van der Pol Oscillator, Celestial Mechanics.

**Muchas gracias**